

FIG. 1

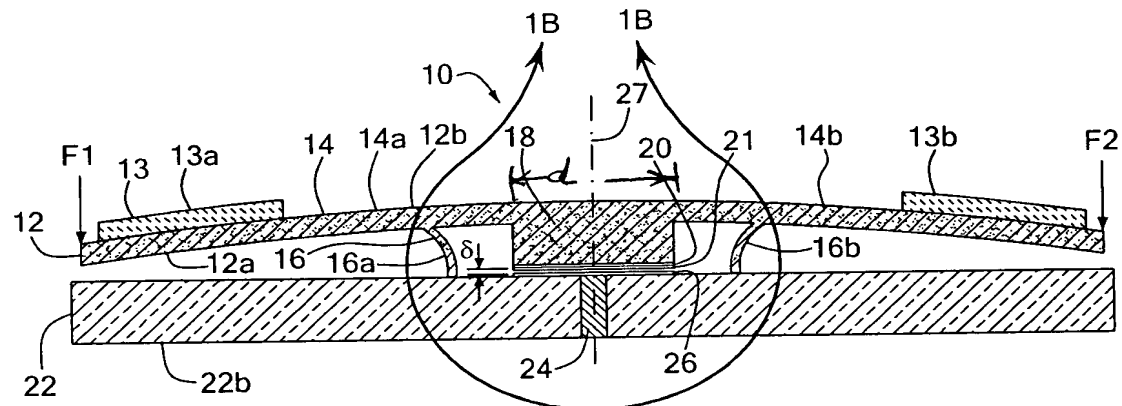


FIG. 1B

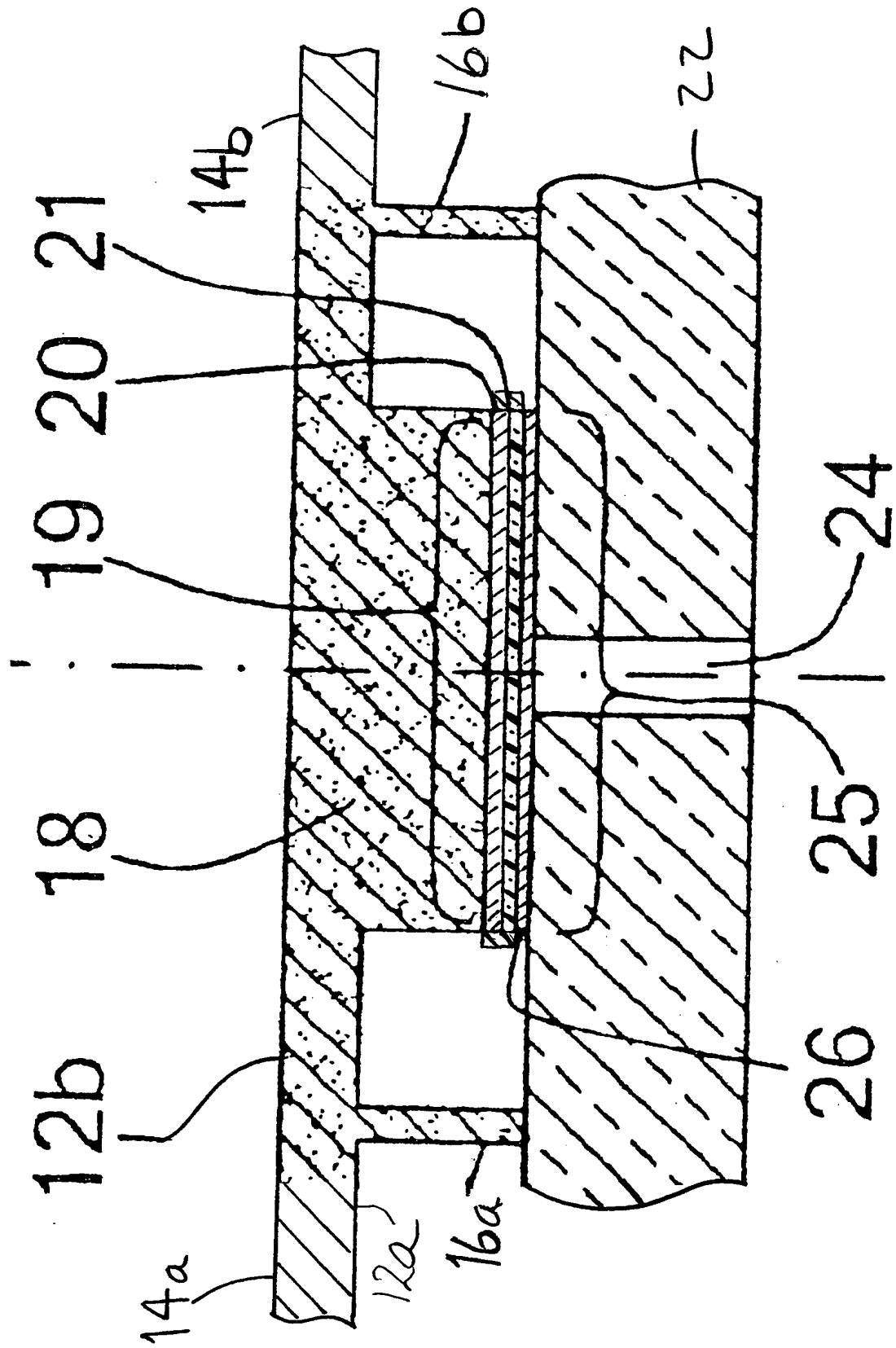
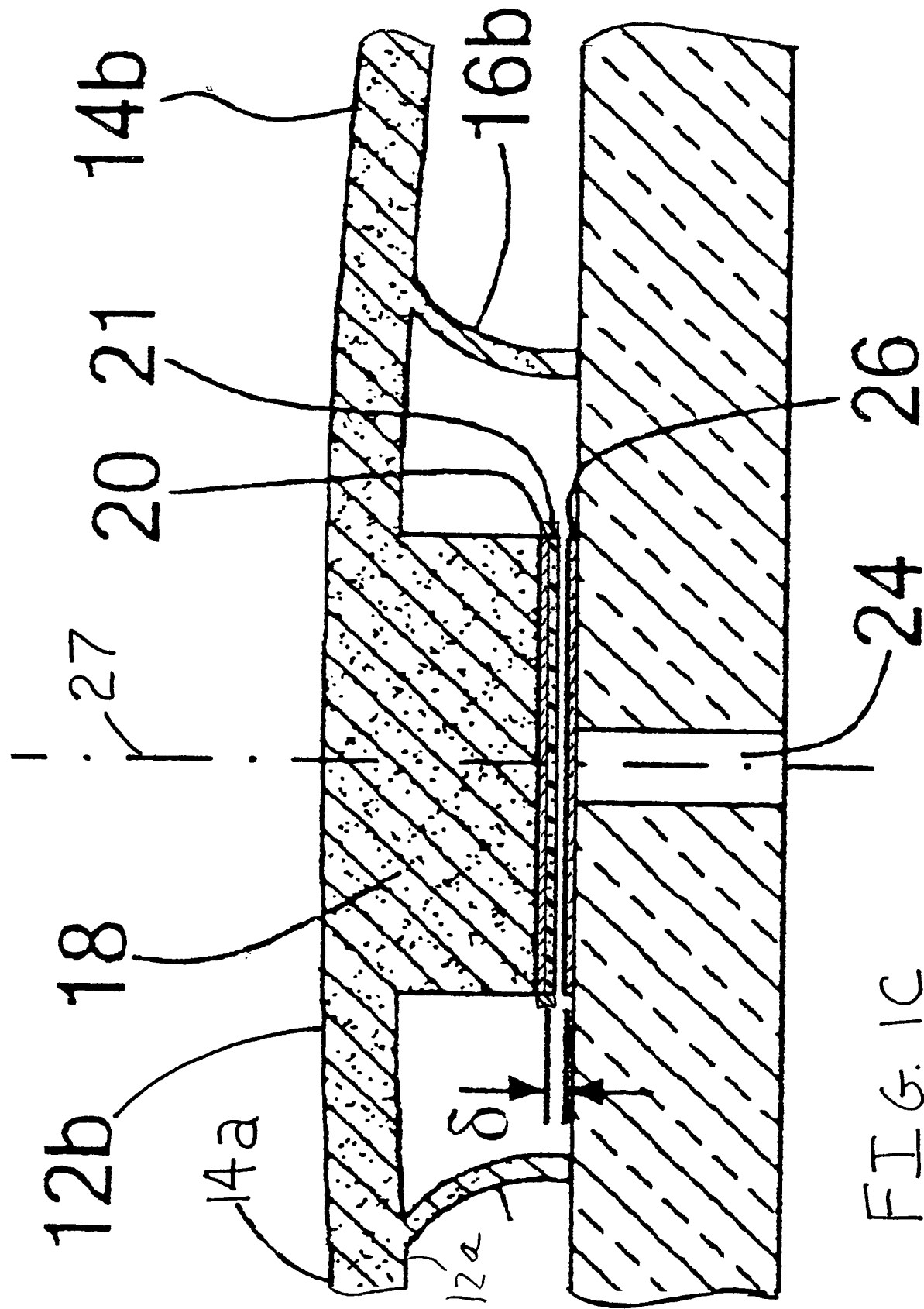


FIG. 1A



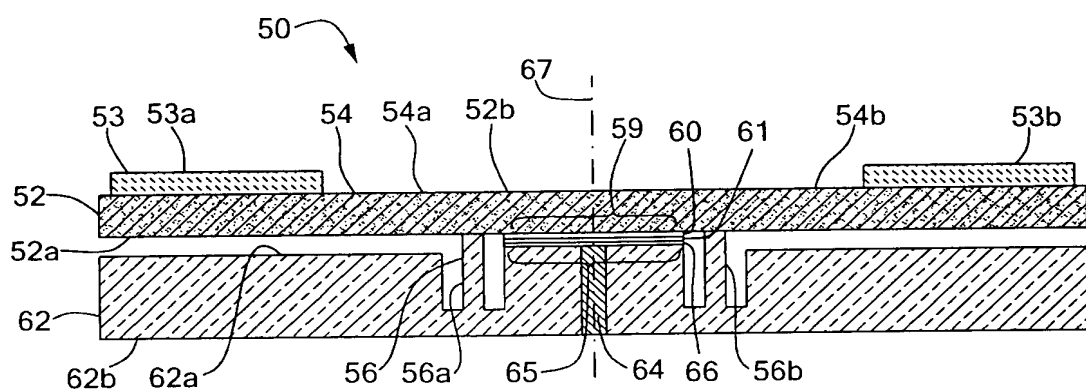


FIG. 2

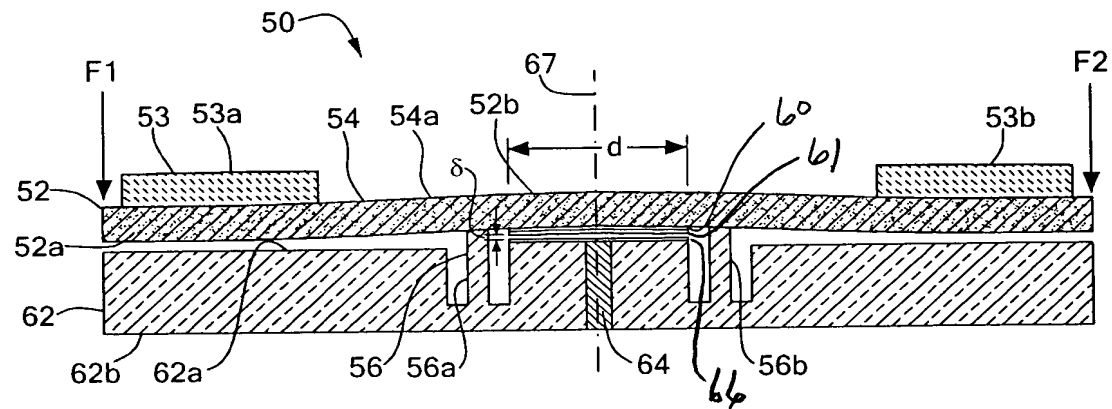


FIG. 2A

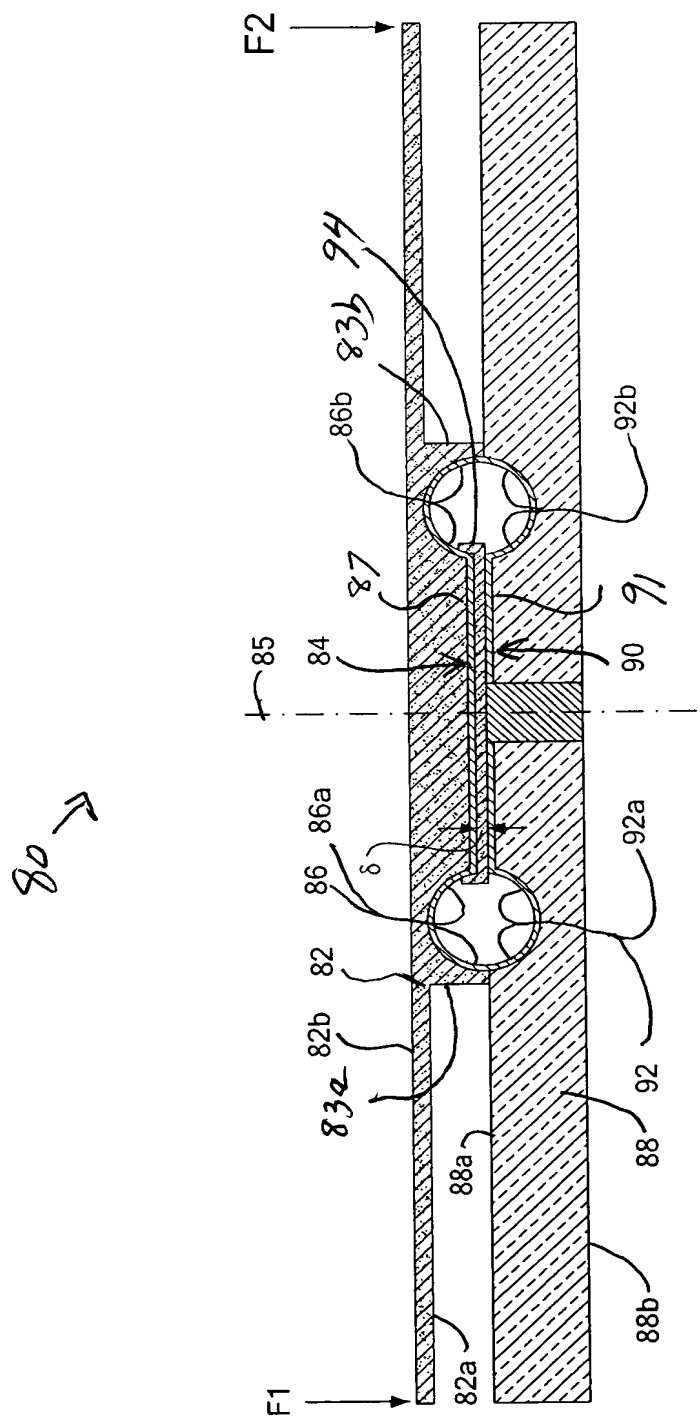


FIG. 3

A VARIABLE ELECTRONIC CIRCUIT COMPONENT
Alexander H. Slocum, et al.
MIT-141AUS

T-141AUS

1000 - 10000

6/22

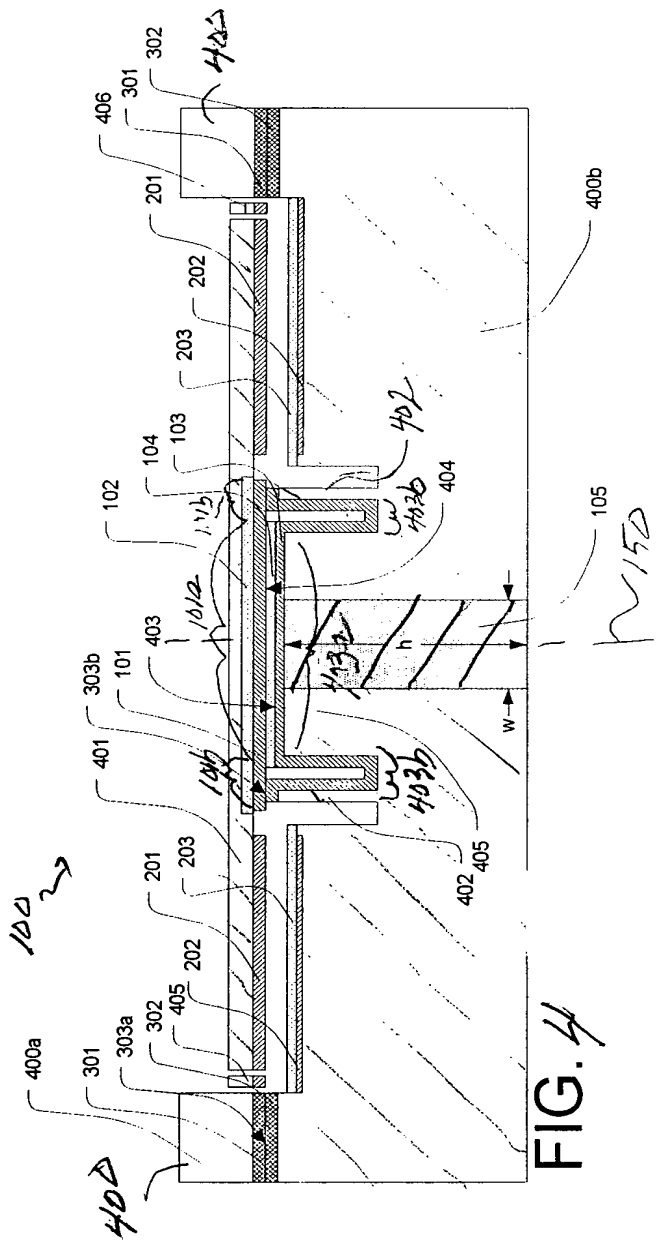


FIG. 4

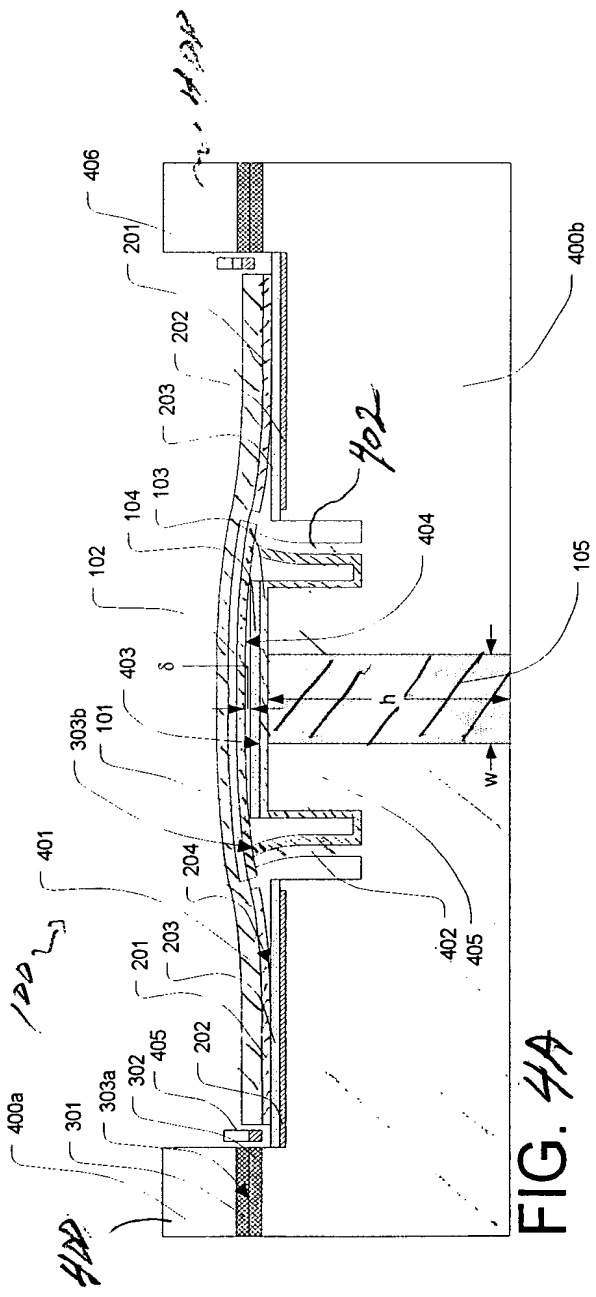


FIG. 4A

A VARIABLE ELECTRONIC CIRCUIT COMPONENT
Alexander H. Slocum, et al.
MIT-141AUS

IT-141AUS

MI VOTOS

7/22

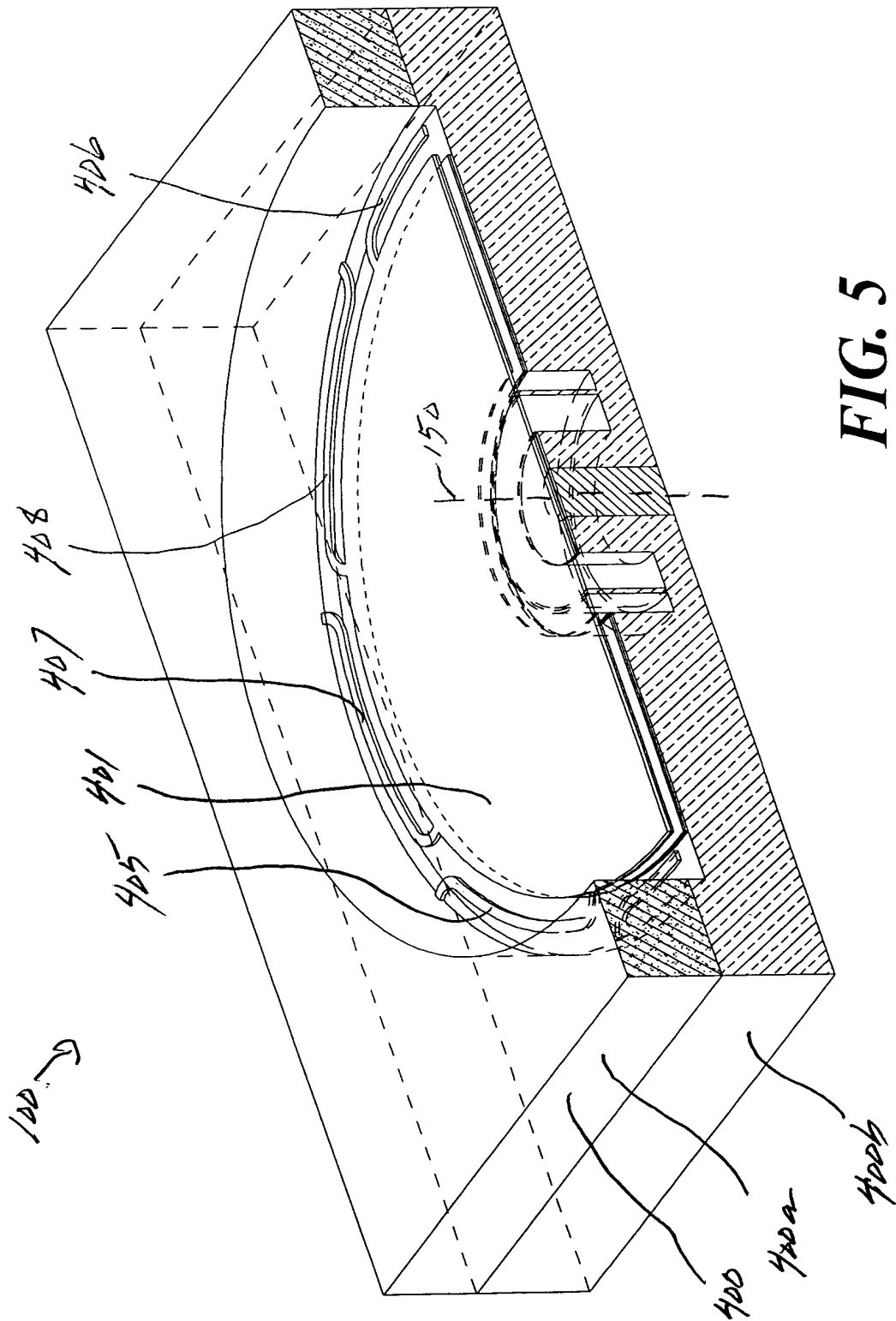


FIG. 5

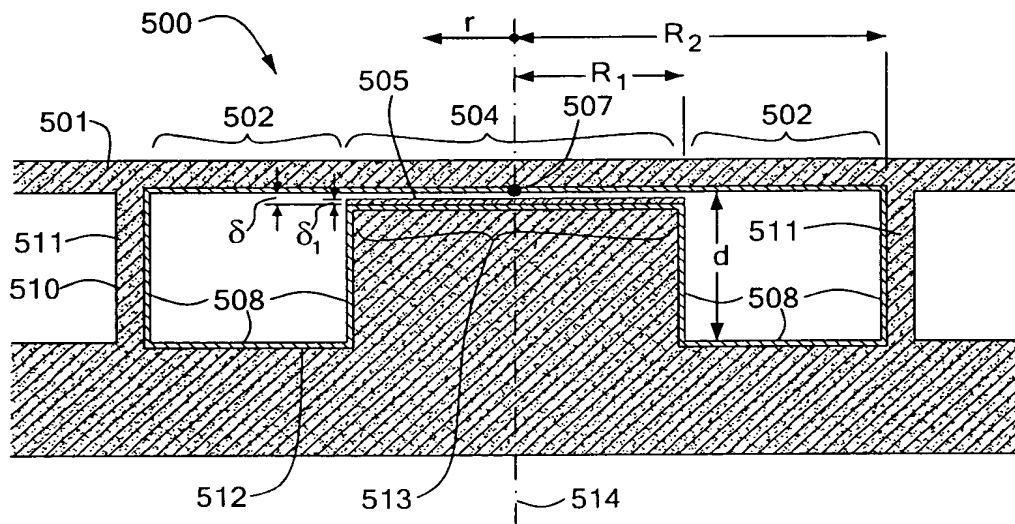


FIG. 6

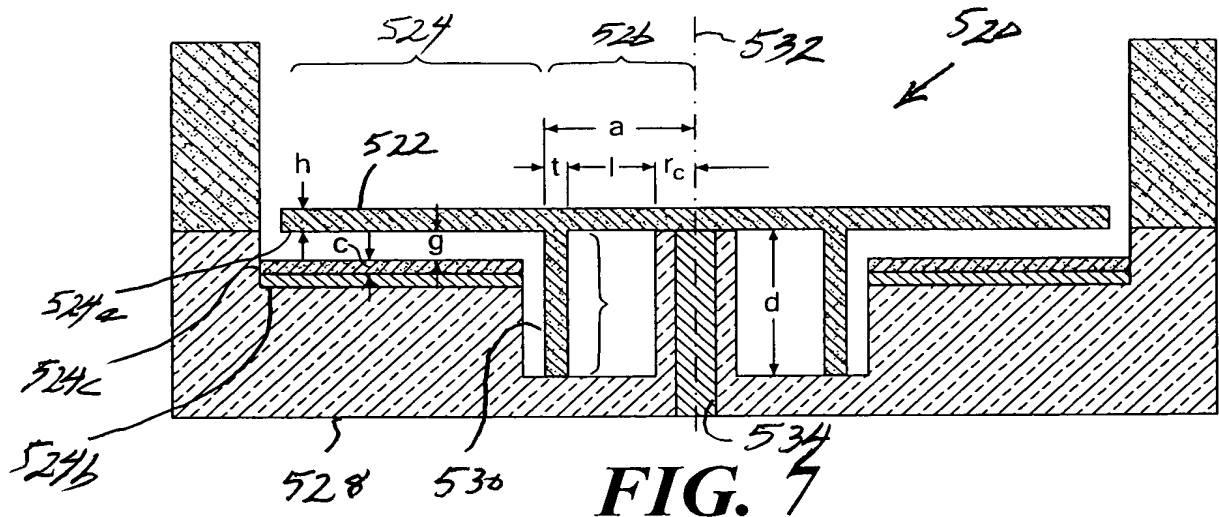


FIG. 7

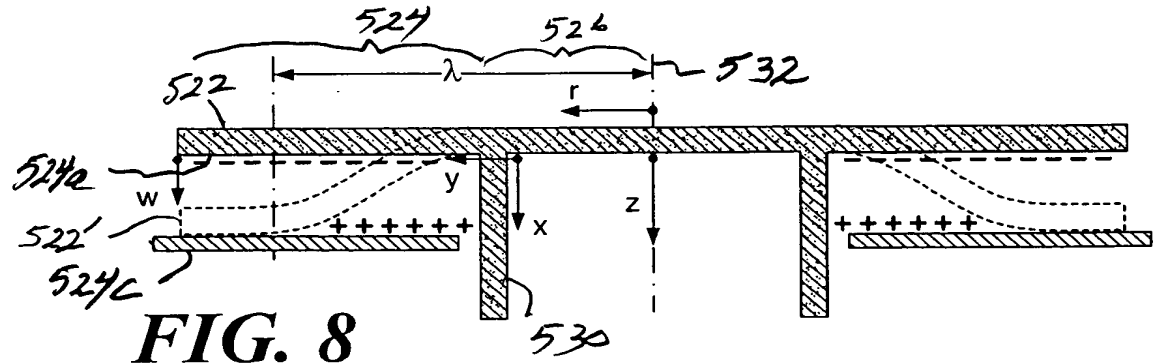


FIG. 8

9/22

600
↙

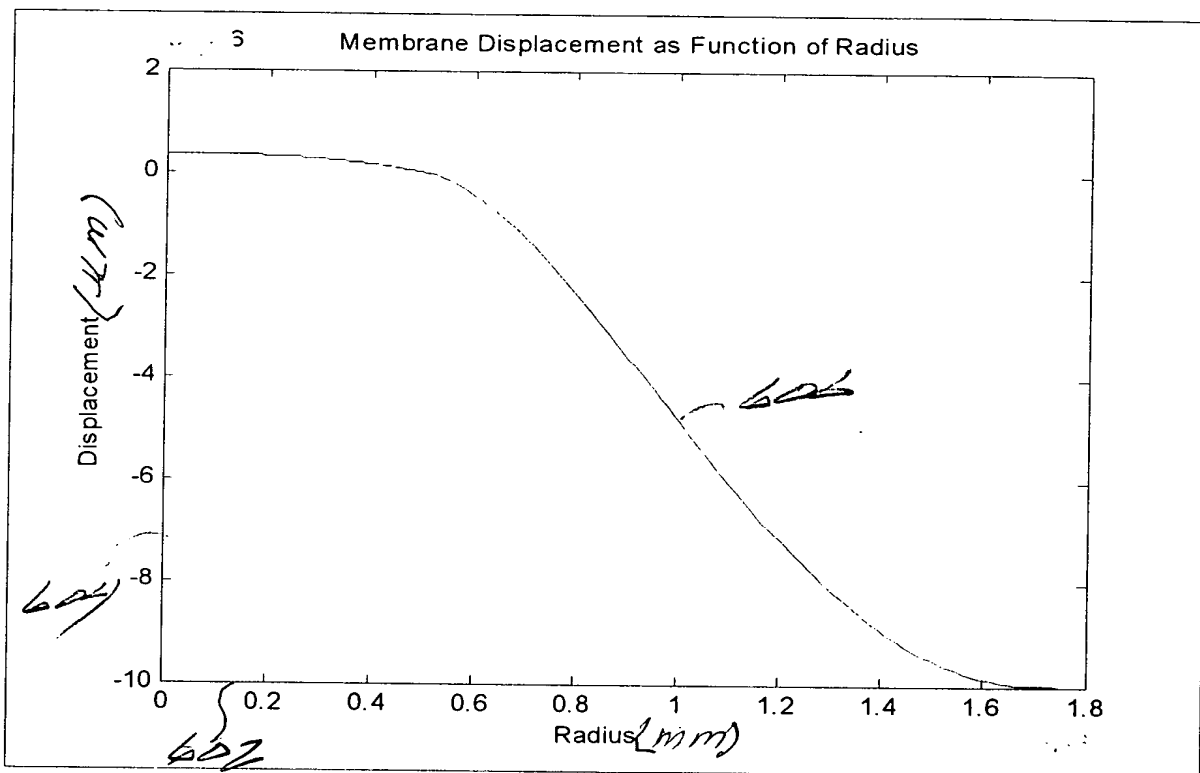


FIG. 9

10/22

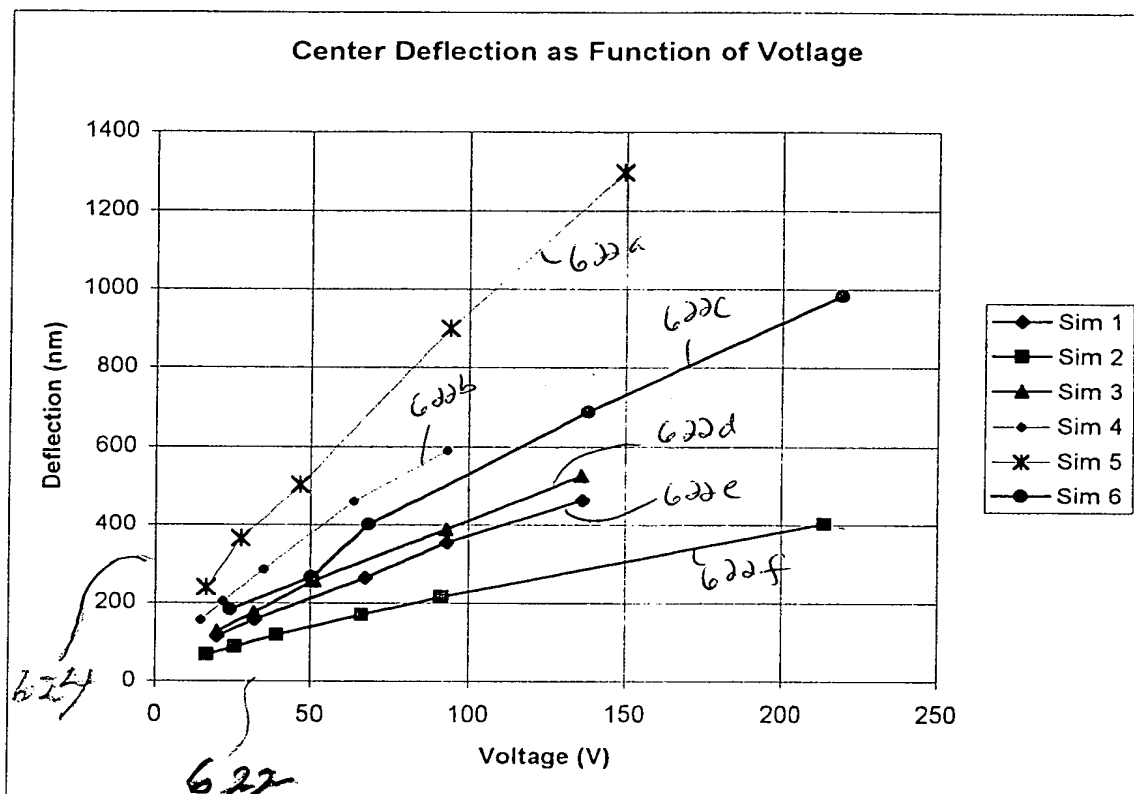


FIG. 10

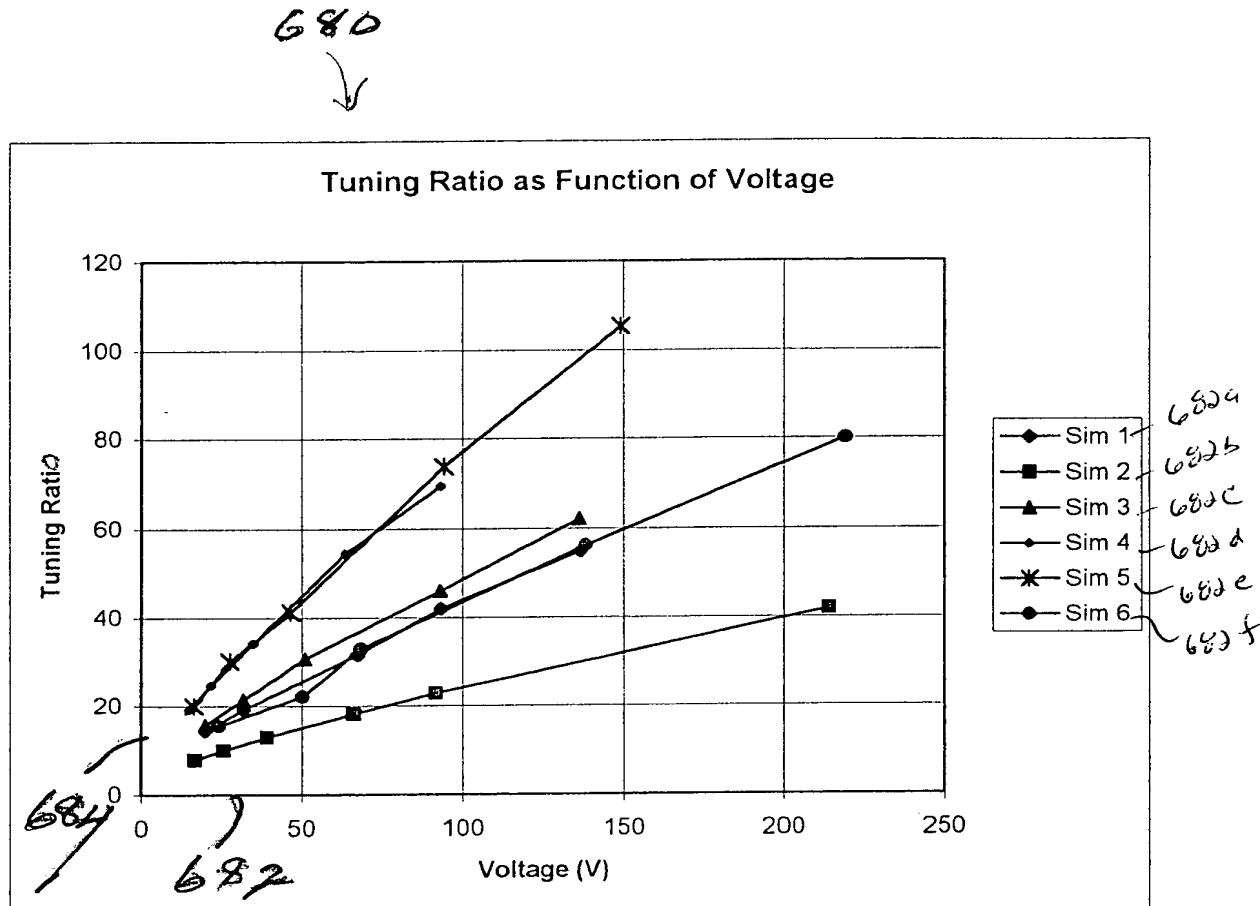


FIG. 12

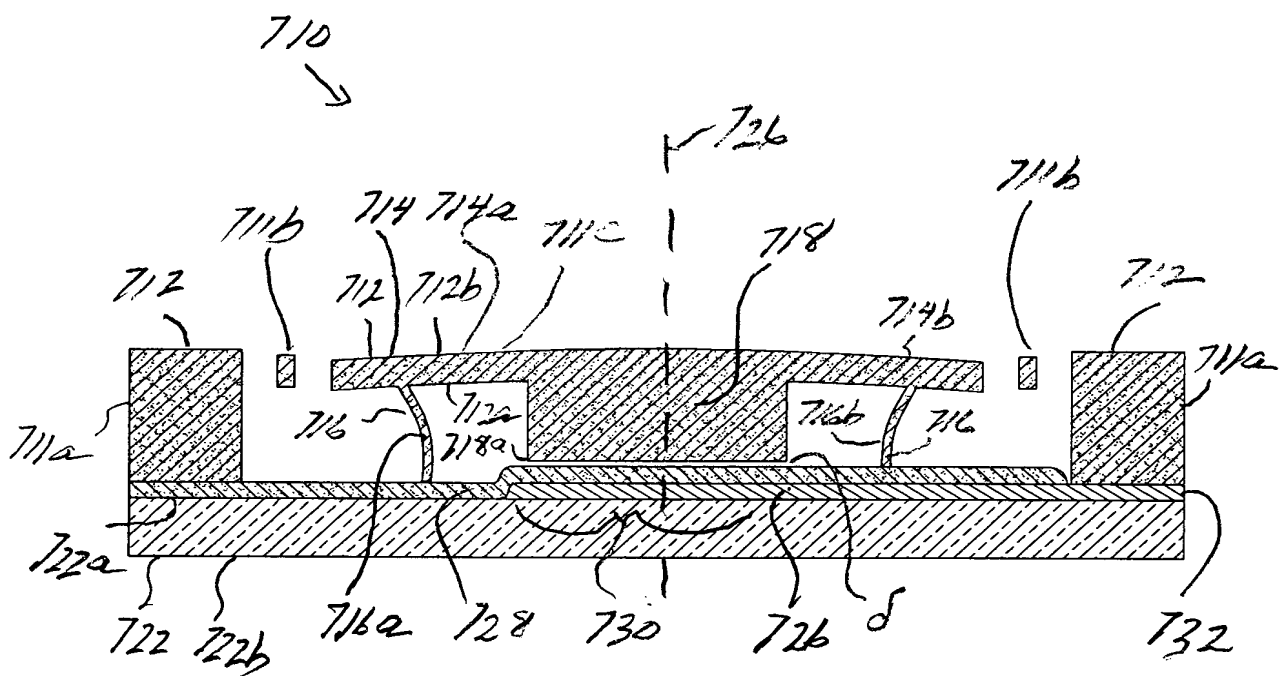


FIG. 13

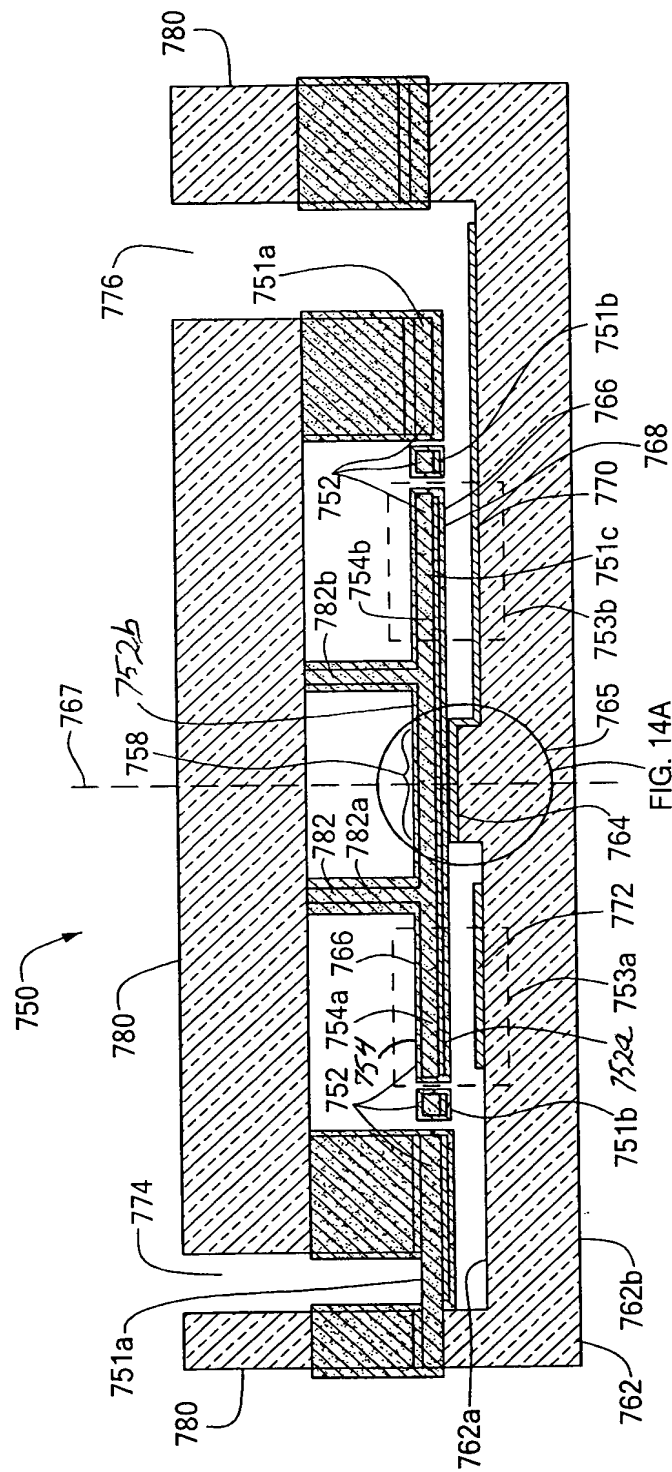


FIG. 14

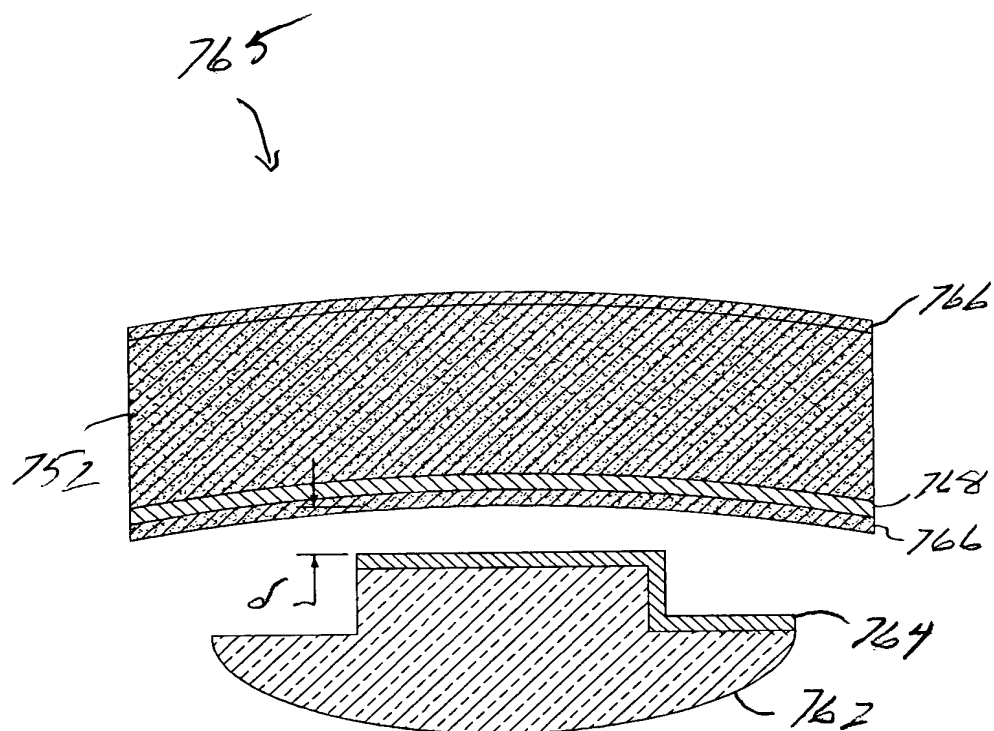


FIG. 14A

800

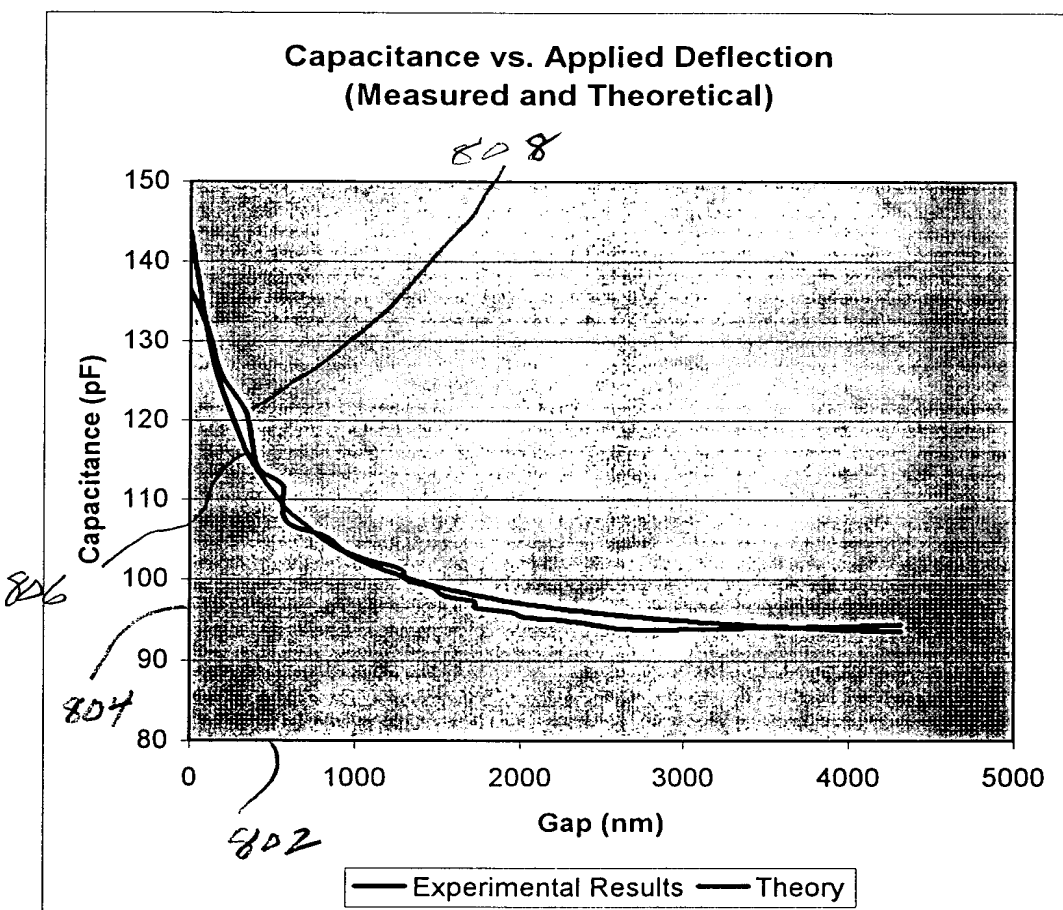


FIG. 15

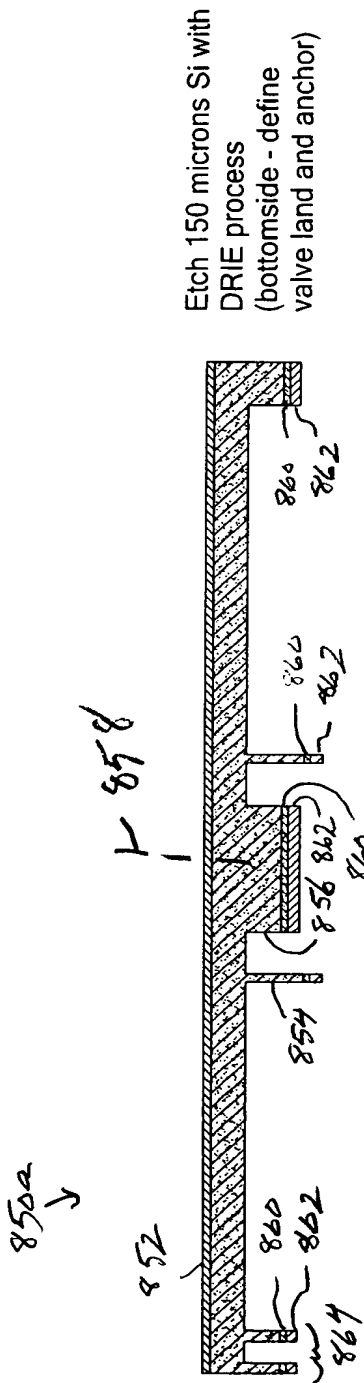


FIG. 16

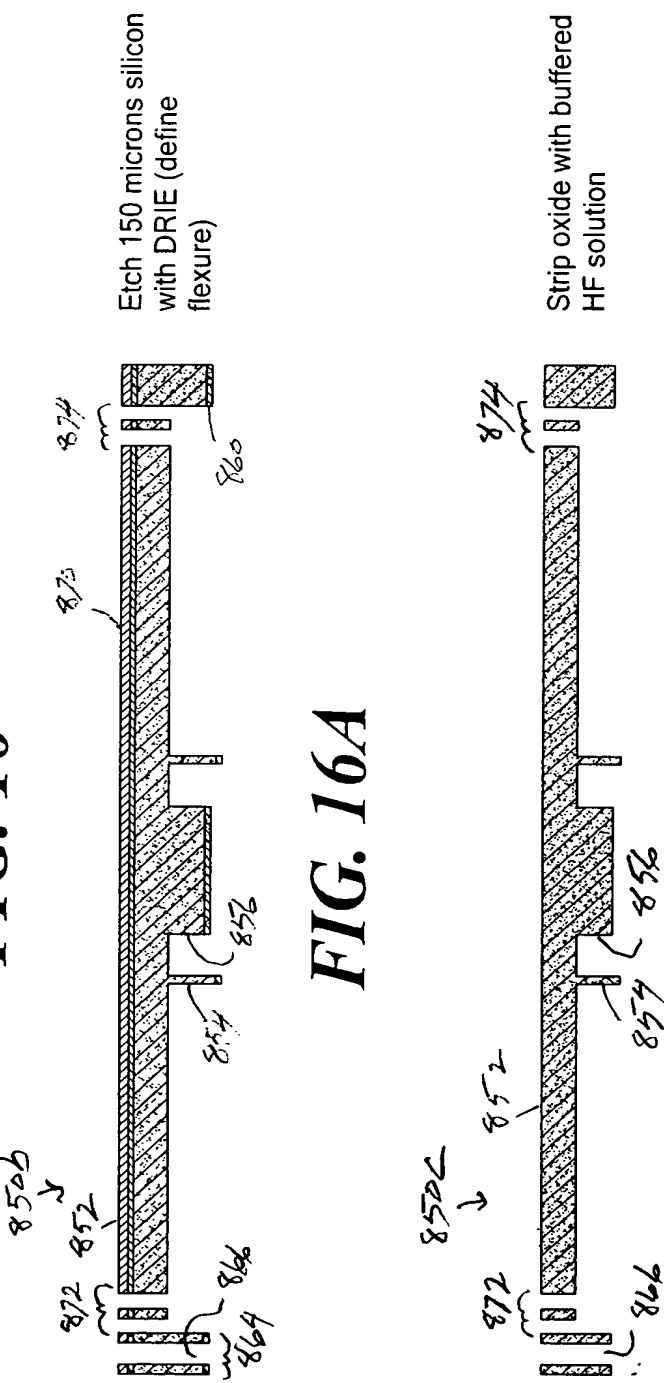


FIG. 16A



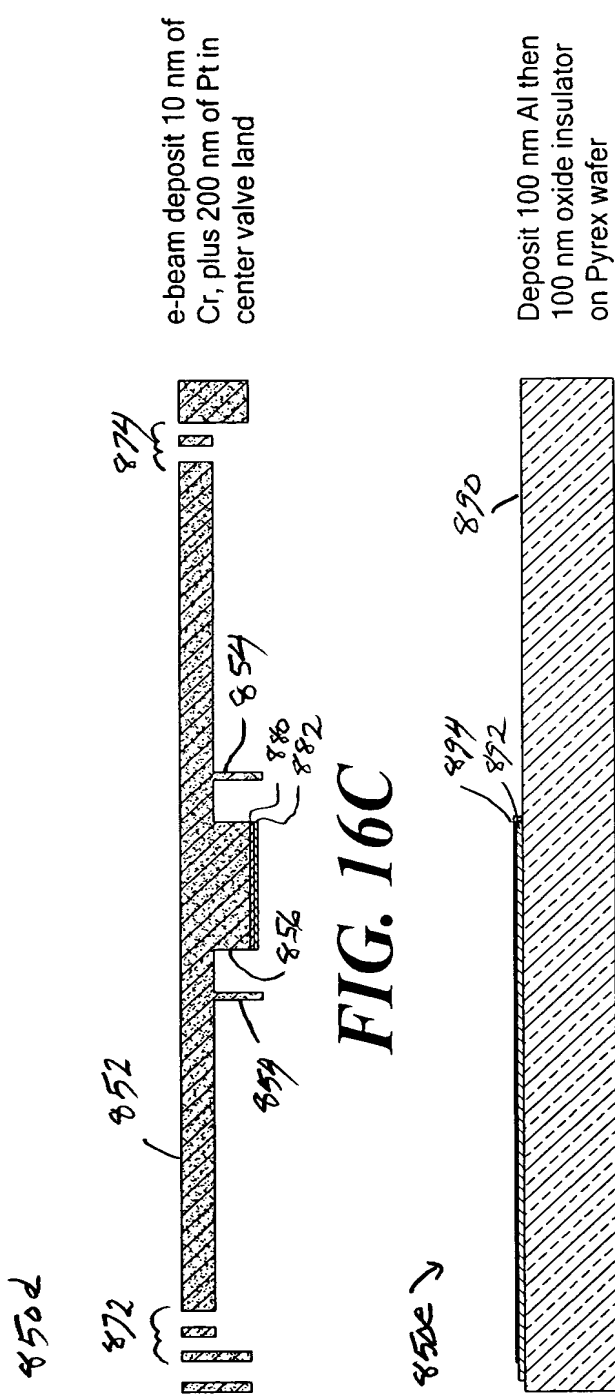


FIG. 16C

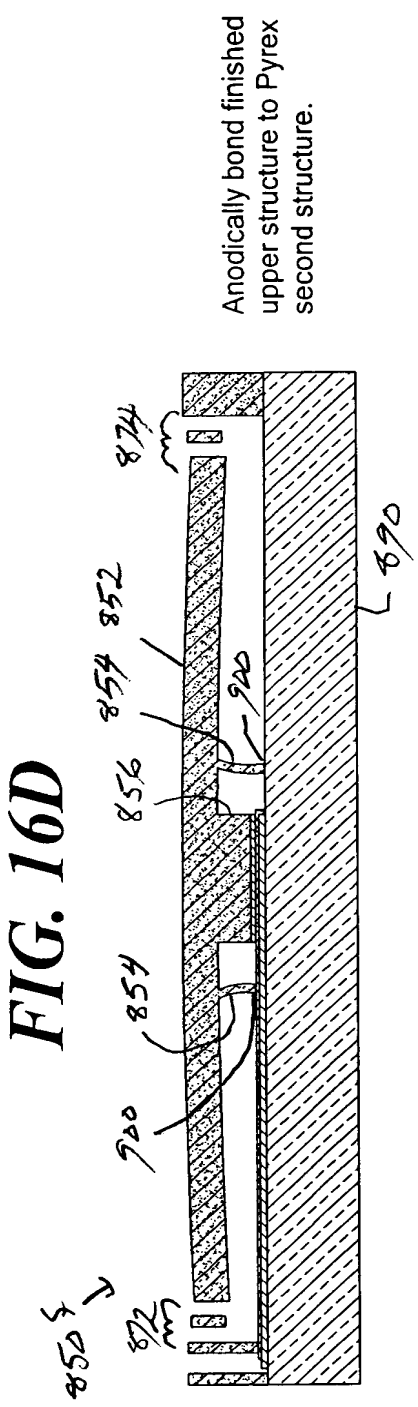


FIG. 16E

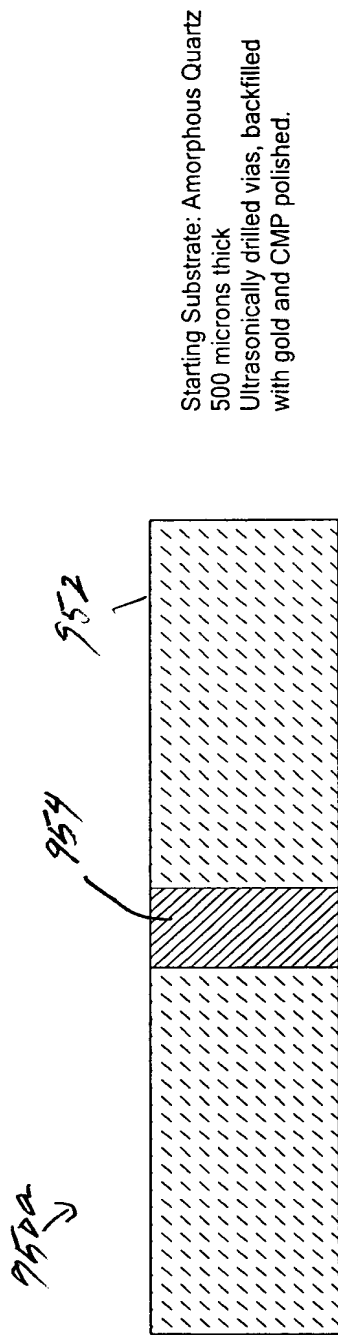


FIG. 17

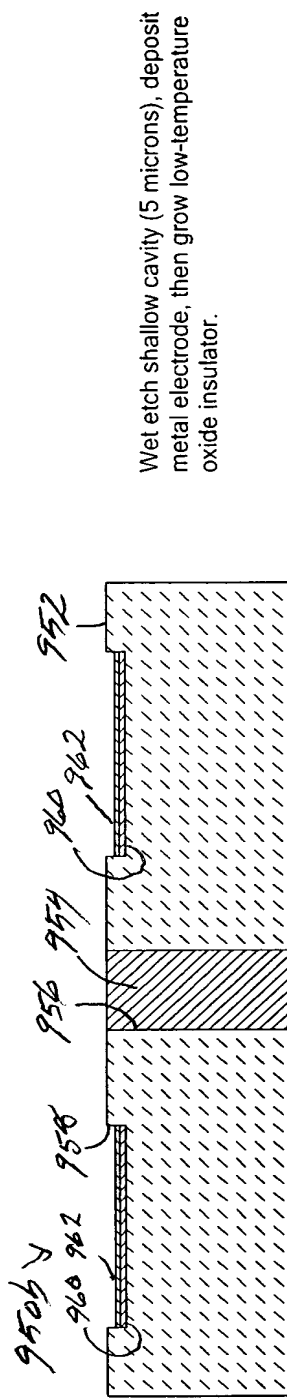


FIG. 17A

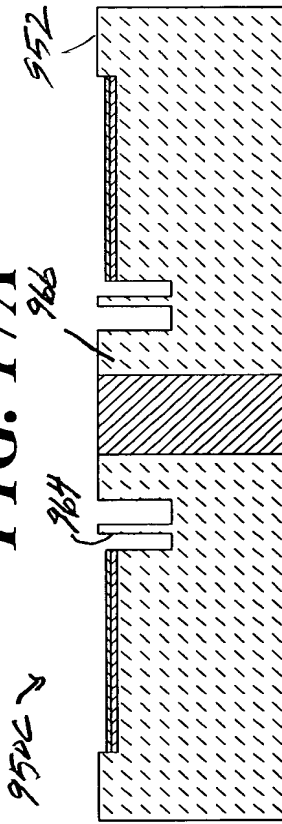


FIG. 17B

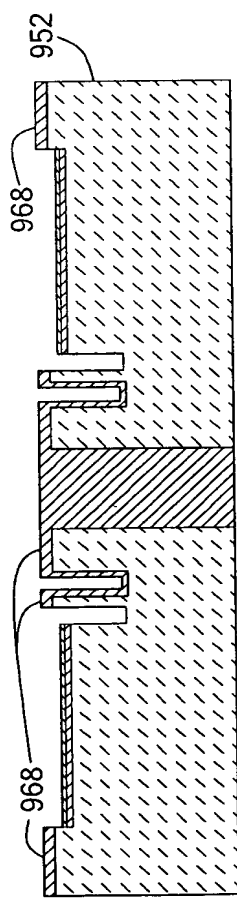


FIG. 17C

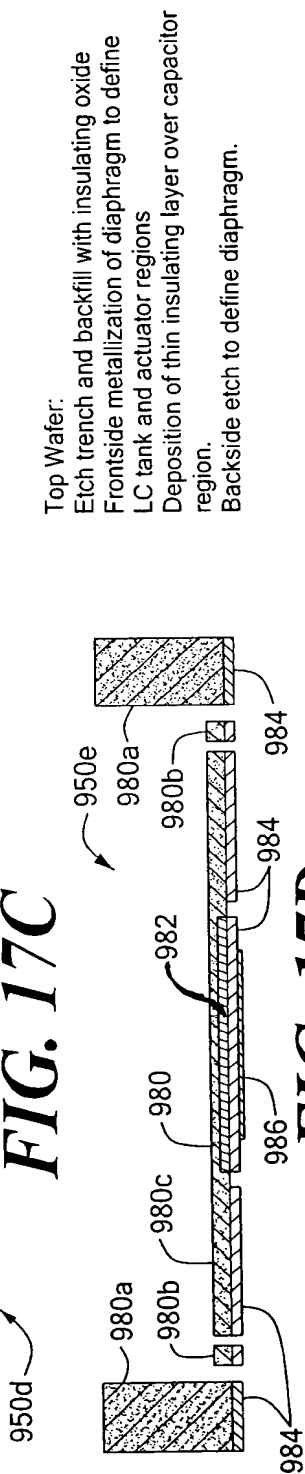


FIG. 17D

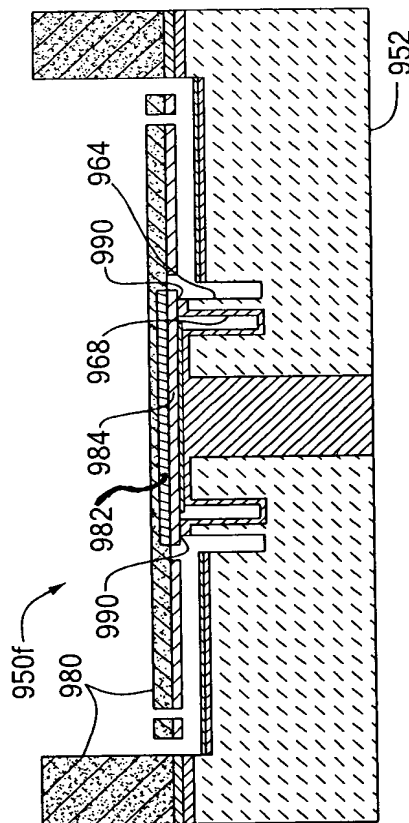


FIG. 17E

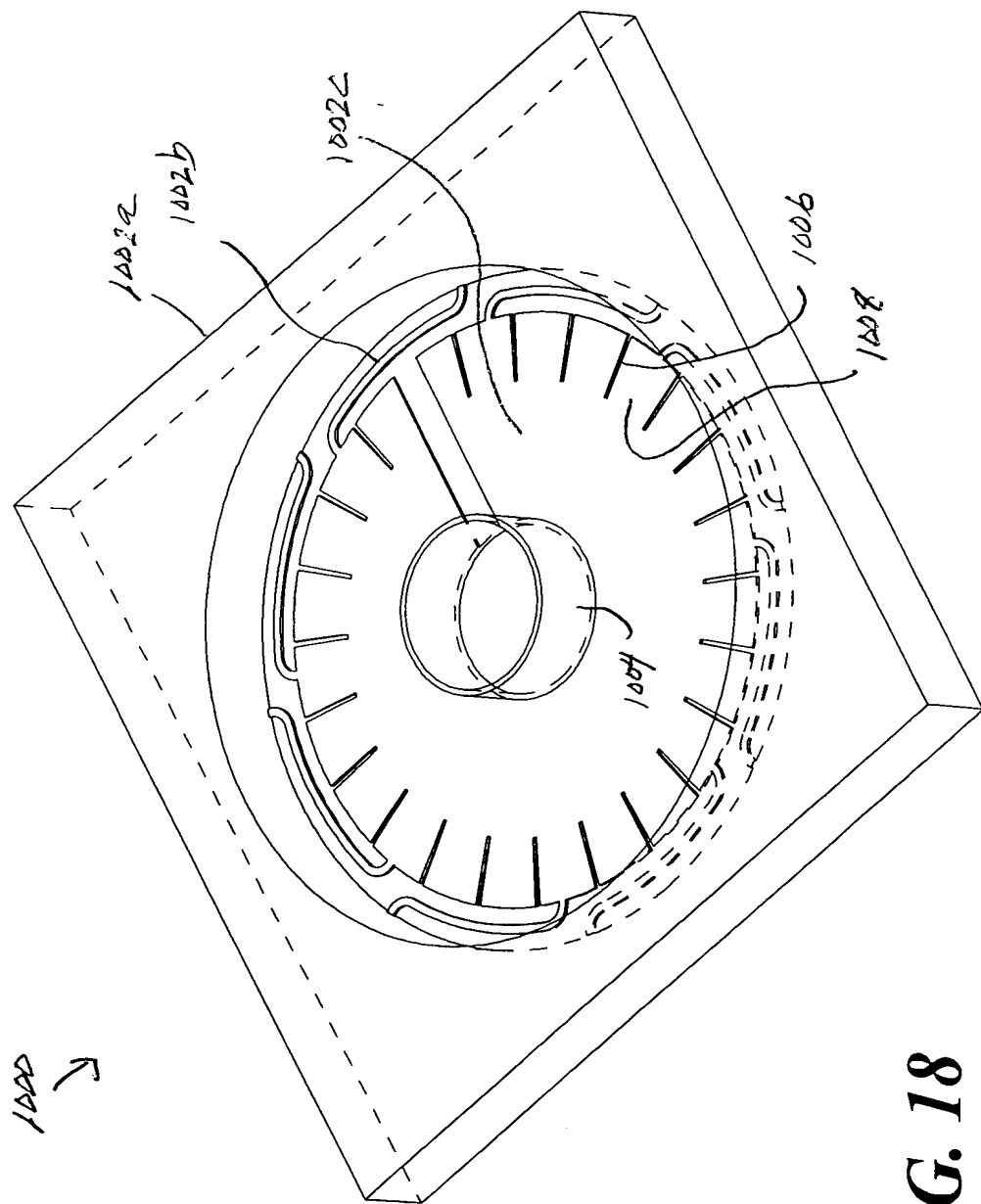


FIG. 18

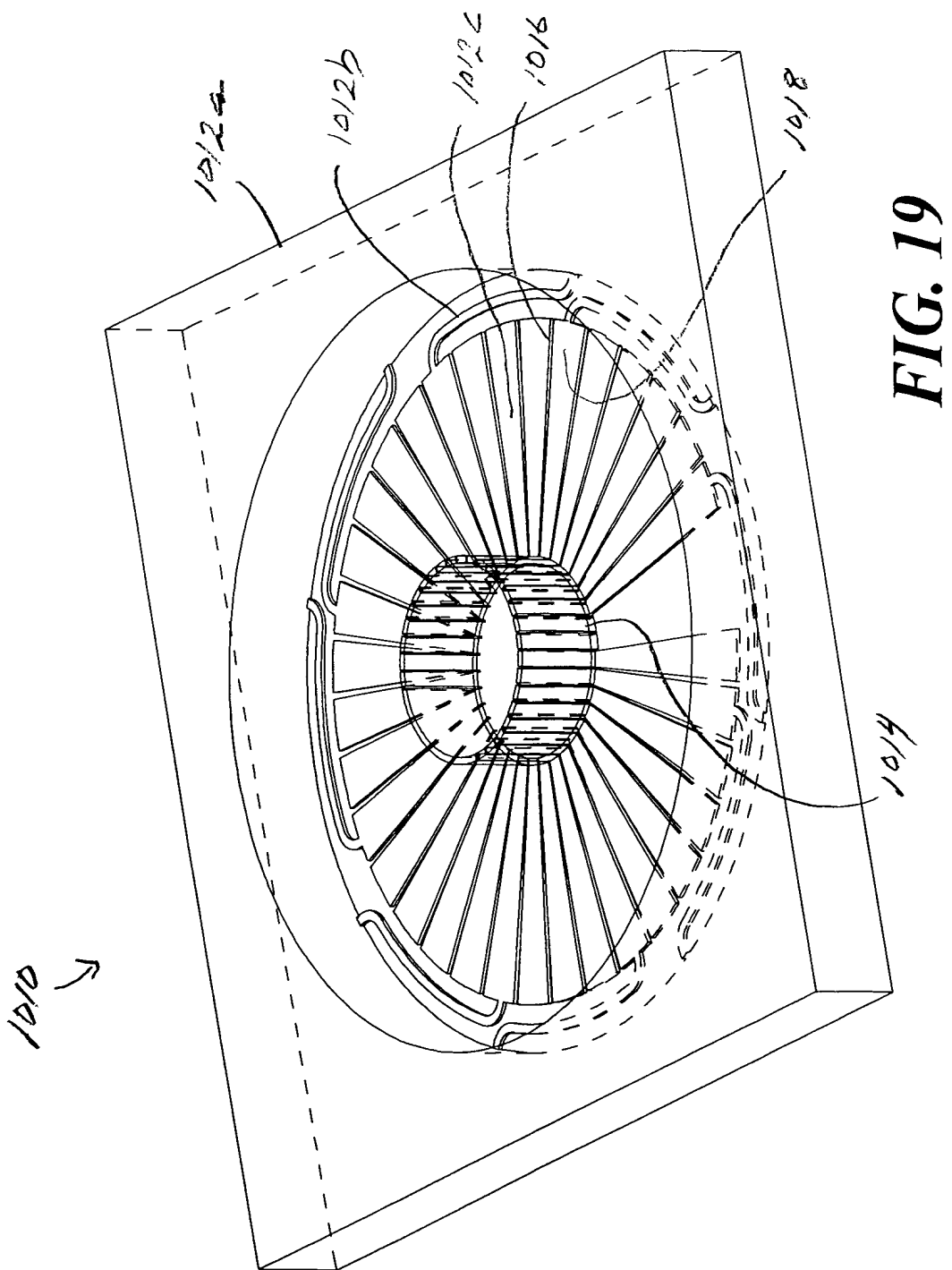


FIG. 19